#### НАУЧНАЯ СТАТЬЯ

УДК 615.1 615.014 539.264

ВЛИЯНИЕ АМОРФНЫХ ТВЕРДЫХ ДИСПЕРСИЙ С ПРИВИТЫМ СОПОЛИМЕРОМ ПОЛИВИНИЛКАПРОЛАКТАМА, ПОЛИВИНИЛАЦЕТАТА И ПОЛИЭТИЛЕНГЛИКОЛЯ НА КРИСТАЛЛИЧНОСТЬ И КИНЕТИКУ РАСТВОРЕНИЯ N-БУТИЛ-N-МЕТИЛ-1-ФЕНИЛПИРРОЛО[1,2-А]ПИРАЗИН-3-КАРБОКСАМИДА

Владимир Борисович Маркеев, Владимир Павлович Виноградов, Сергей Валерьевич Тишков, Евгения Викторовна Блынская, Константин Викторович Алексеев, Владимир Львович Дорофеев

Федеральный исследовательский центр оригинальных и перспективных биомедицинских и фармацевтических технологий

**Автор, ответственный за переписку:** Владимир Борисович Маркеев, markeev vb@academpharm.ru

Аннотация. Проблема плохой растворимости в воде, которая, как правило, отрицательно сказывается на биодоступности при пероральном приеме лекарственных средств, свойственна большинству (до 70%) молекул, разрабатываемых в качестве активных фармацевтических субстанций. В статье описана разработка аморфных твердых дисперсий N-бутил-N-метил-1-фенилпирроло[1,2-а]пиразин-3-карбоксамида (ГМЛ-3) с полимером Soluplus<sup>®</sup>. Включение практически нерастворимого в воде и обладающего антидепрессивным и анксиолитическим действием ГМЛ-3 в твердые дисперсии позволило перевести его из кристаллического в аморфное состояние. Аморфность твердых дисперсий подтверждена рентгенофазовым анализом и дифференциальной сканирующей калориметрией. Выявлено взаимодействие полимера и ГМЛ-3 внутри дисперсий. В результате изучения влияния аморфных твердых дисперсий с Soluplus<sup>®</sup> на кинетику высвобождения ГМЛ-3 удалось добиться растворимости 98,4% ГМЛ-3 в воде путем создания твердых дисперсий ГМЛ-3 с Soluplus<sup>®</sup>, что решило проблему растворимости данной АФС.

**Ключевые слова:** твердые дисперсии, кристалличность,  $\Gamma$ МЛ-3,  $Soluplus^{\otimes}$ , растворимость

DOI: 10.55959/MSU0579-9384-2-2025-66-4-319-327

**Благодарности.** Авторы выражают благодарность Центру коллективного пользования МГУ имени М.В. Ломоносова за техническую поддержку в осуществлении настоящей работы.

**Список сокращений:** ГМЛ-3 – N-бутил-N-метил-1-фенилпирроло[1,2-а] пиразин-3-карбоксамид, АТД — аморфная твердая дисперсия, АФС— активная фармацевтическая субстанция.

**Финансирование.** Исследование выполнено в рамках бюджетного финансирования ФГБНУ «ФИЦ оригинальных и перспективных биомедицинских и фармацевтических технологий».

<sup>©</sup> Маркеев В.Б., Виноградов В.П., Тишков С.В., Блынская Е.В., Алексеев К.В., Дорофеев В.Л., 2025

Для цитирования: Маркеев В.Б., Виноградов В.П., Тишков С.В., Блынская Е.В., Алексеев К.В., Дорофеев В.Л. Влияние аморфных твердых дисперсий с привитым сополимером поливинилкапролактама, поливинилацетата и полиэтиленгликоля на кристалличность и кинетику растворения N-бутил-N-метил-1-фенилпирроло[1,2-а]пиразин-3-карбоксамида // Вестн. Моск. ун-та. Сер. 2. Химия. 2025. Т. 66. № 4. С. 319—327.

#### ORIGINAL ARTICLE

INFLUENCE OF AMORPHOUS SOLID DISPERSIONS WITH A GRAFTED COPOLYMER OF POLYVINYLCAPROLACTAM, POLYVINYL ACETATE, AND POLYETHYLENE GLYCOL ON THE CRYSTALLINITY AND KINETICS OF DISSOLUTION OF N-BUTYL-N-METHYL-1-PHENYLPYRROLO[1,2-A]PYRAZINE-3-CARBOXAMIDE

Vladimir B. Markeev, Vladimir P. Vinogradov, Sergej V.Tishkov, Evgenija V. Blynskaya, Konstantin V. Alekseev, Vladimir L. Dorofeev

Federal Research Center for Innovator and Emerging Biomedical and Pharmaceutical Technologies

**Abstract.** The problem of poor solubility in water, which usually negatively affects the bioavailability of oral medications, is a characteristic of most molecules (up to 70%) developed as active pharmaceutical ingredients (API). Amorphous solid dispersions of N-butyl-N-methyl-1-phenylpyrrolo[1,2-a]pyrazine-3-carboxamide (GML-3) with Soluplus® polymer have been developed. The inclusion of GML-3, which is practically insoluble in water and has an antidepressant and anxiolytic effects in solid dispersions, made it possible to transfer it from a crystalline to an amorphous state. The amorphousness of solid dispersions was confirmed by powder X-ray diffractometry (PXRD) and differential scanning calorimetry (DSC), and the interaction of polymer and GML-3 inside the dispersions was revealed. As a result of studying the effect of amorphous solid dispersions with Soluplus® on the dissolution kinetics of GML-3, it was possible to achieve the solubility of GML-3 in water at the level of 98,4%, which solves the problem of the solubility of the API.

**Abbreviations:** GML-3 – N-butyl-N-methyl-1-phenylpyrrolo[1,2-a]pyrazine-3-carboxamide, ASD – amorphous solid dispersion, API – active pharmaceutical ingredient.

Keywords: solid dispersions, crystallinity, GML-3, Soluplus®, solubility

**Acknowledgements.** The authors are grateful to the Center for Collective Use of Lomonosov Moscow State University for technical support in the implementation of this work.

**Financial Support.** The study was carried out within the framework of budget financing of the Federal State Budgetary Budgetary Institution "FITZ of original and promising Biomedical and Pharmaceutical Technologies".

**For citation:** Markeev V.B., Vinogradov V.P., Tishkov S.V., Blynskaya E.V., Alekseev K.V., Dorofeev V.L. Influence of Amorphous Solid Dispersions with a Grafted Copolymer of Polyvinylcaprolactam, Polyvinyl Acetate, and Polyethylene Glycol on The Crystallinity And Kinetics of Dissolution of N-Butyl-N-Methyl-1-Phenylpyrrolo[1,2-A]Pyrazine-3-Carboxamide // Vestn. Mosk. un-ta. Ser. 2. Khimiya. 2025. T. 66. № 4. S. 319–327.

Снижение или потеря трудоспособности пациентов, страдающих тревогой и депрессией, на

которую приходится большая часть психических расстройств, наносит серьезный ущерб экономи-

ке и социуму [1–3]. При этом в первые недели после начала терапии антидепрессантами повышен риск суицида, что делает необходимым прием пациентами анксиолитиков (устаревшее название «транквилизаторы») [4, 5].

Синтезированное в ФГБНУ «ФИЦ оригинальных и перспективных биомедицинских и фармацевтических технологий» в линии производных 1-арилпирроло[1,2-а]пиразин-3-карбоксамида соединение N-бутил-N-метил-1-фенилпирроло[1,2-а]пиразин-3-карбоксамид, получившее рабочий шифр ГМЛ-3 (рис. 1), обладает одновременно антидепрессивным и анксиолитическим действием. Два терапевтических эффекта и отсутствие большинства побочных эффектов бензодиазепинов являются преимуществами ГМЛ-3 как нового перспективного лекарственного препарата (ЛП). Однако его низкая растворимость в воде, составляющая более 10000 мл на 1 г активной фармацевтической субстанции (АФС) негативно влияет на биодоступность, выступая препятствием на пути к созданию ЛП для перорального приема. По разным данным такая проблема характерна для большинства (около 70%) новых разрабатываемых в качестве АФС молекул [6, 7]. Проблема усугубляется наличием у малых молекул АФС прочной кристаллической решетки, которая существенно замедляет кинетику растворения. ГМЛ-3 имеет характерные для кристаллического вещества пики дифрактограммы при 5,7; 7,5; 12,1; 17,9; 21,1 и 22,7 град. и пик плавления на термограмме при 86-88 °C [8]. Одним из путей увеличения скорости растворения и преодоления проблемы кристалличности АФС является создание аморфных твердых дисперсий (АТД), где АФС молекулярно диспергирована в полимере, в результате чего все молекулы находятся в аморф-

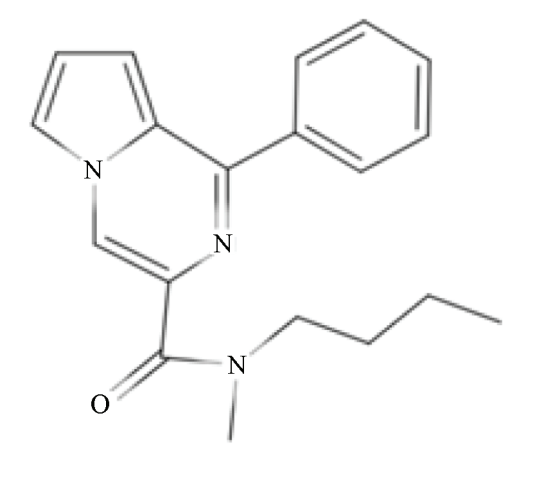


Рис. 1. Структурная формула ГМЛ-3

ном состоянии [9–11]. Это положительно сказывается на кинетике растворения АФС, так как в этом случае не требуется энергии на разрыв ее кристаллической решетки.

Цель настоящего исследования — оценка кинетики высвобождения ГМЛ-3 из АТД, изучение кристалличности и взаимодействия ГМЛ-3 с полимером (Soluplus<sup>®</sup>).

Soluplus® разработан специально для получения АТД и представляет собой привитый сополимер поливинилкапролактама, поливинилацетата и полиэтиленгликоля (6000) в соотношении 13:57:30 со средней молекулярной массой 118 000. Твердые дисперсии с Soluplus<sup>®</sup>, как правило, получают методом экструзии горячего расплава. Однако, несмотря на то, что температура стеклования данного полимера составляет ~70 °C и близка к температуре плавления кристаллов ГМЛ-3, риск термолиза ГМЛ-3 при длительном термостатировании в расплавленном состоянии не позволяет использовать методы создания АТД, связанные с нагреванием. ГМЛ-3 растворим в этаноле, Soluplus® растворяется в этаноле без образования коллоидных частиц, которые формируются лишь при критической концентрации 7,6 мг/л (при рН 7). Таким образом, при достаточном количестве этанола можно получить АТД ГМЛ-3 с Soluplus<sup>®</sup> методом «удаления растворителя», суть которого заключается в совместном растворении АФС и полимера в органическом растворителе с его последующей отгонкой при условиях, не приводящих к плавлению, кипению или воспламенению компонентов.

### Материалы и методы

В качестве объекта исследования использовали N-бутил-N-метил-1-фенилпирроло[1,2-а]пиразин-3-карбоксамид. При создании АТД использовался Soluplus [BASF, Германия (USP / NF, EP, JP)] и 96%-й этанол.

Получение твердых дисперсий ГМЛ-3 с Soluplus® осуществляли методом «удаления растворителя». АТД получали при соотношении ГМЛ-3: полимер, равном 1:5, 1:10, 1:15 и 1:20. ГМЛ-3 и Soluplus® совместно растворяли в этаноле (в соотношении 1:5−20:25), затем высушивали в сушильном шкафу при температуре 50−55 °C.

Получение микрофотографий твердых дисперсий ГМЛ-3 осуществляли с помощью лабораторного микроскопа Saike Digital SK2009HDMI-Т (Китай) без проводящей жидкости на подложке и с увеличением контраста изображения.

# Изучение АТД ГМЛ-3 методом дифференциальной сканирующей калориметрии

Измерение образцов методом дифференциальной сканирующей калориметрии (ДСК) проводили с использованием прибора Netzsch STA 449 F1 (Netzsch, Германия), совмещенного с термогравиметрией QMS 403 С. Примерно 4–5 мг образца запечатывали в алюминиевый тигель с отверстием в крышке. Далее проводили нагревание до температуры 160 °C со скоростью 5 °С/мин. В качестве продувочного газа использовали воздух.

# Измерение кристалличности *АТД ГМЛ-3* методом рентгенофазового анализа

Спектры рентгенофазового анализа (РФА) фиксировали с помощью дифрактометра рентгеновского Bruker D8 Venture (Германия, 2019). Измерения проводили излучением  $CuK_a$  при 40 кВ и 40 мА в диапазоне 2–60 град. с размером шага 0,02 град.

## Испытание на растворение

По причине прилипания и агломерации частиц АТД на лопасти и поверхность ячейки тестера растворения проводить эксперименты согласно ОФС.1.4.2.0014 «Растворение для твердых дозированных лекарственных форм» затруднительно. Высвобождение АФС ГМЛ-3 из АТД оценивали спектрофотометрически с использованием «модифицированного теста растворения» [12-14]. Среда растворения - 150 мл воды очищенной; устройство - магнитная мешалка; температура среды растворения 37,0±0,5 °C; время отбора проб 1, 3, 5, 10, 15, 30, 45 и 60 мин. Опыт проводили в пяти ячейках (n = 5). После каждого отбора проб проводили пополнение среды (10 мл). Оптическую плотность определяли на УФ-спектрофотометре «Экрос ПЭ-5400УФ»

(«Экрос», Россия) при длине волны 256±2 нм. При необходимости пробы пропускали через нейлоновый фильтр с размером пор 0,45 мкм. Для оценки типа диффузии ГМЛ-3 из полимера использовали модель Корсмейера – Пеппаса.

# Результаты и обсуждение

Согласно данным оптической микроскопии, АТД ГМЛ-3 представляют собой аморфные чещуйчатые частицы неправильной формы без вкраплений (рис. 2). Рентгенограмма с интенсивностями гало АТД ГМЛ-3 представлена в табл. 1 и на рис. 3. По данным РФА, Soluplus не имеет кристаллических пиков и представляет собой аморфный полимер с наличием аморфных гало с апогеем в 12 и 21 град.

Первый аморфный пик имеет меньшую интенсивность и угол от направляющей (угол между направлением роста гало и направлением роста интенсивности второго гало)  $\alpha = 18$  град., который является характерным для данного полимера (рис. 3, E). Так, для полимера характерна интенсивность  $83 \times 10^3$  и  $99 \times 10^3$  отн. ед.

У полученных АТД ГМЛ-3 исчезли пики, характерные для АФС ГМЛ-3, что говорит об аморфизации АФС внутри дисперсий. При всех соотношениях, согласно РФА, твердые дисперсии аморфны, т.е. отсутствуют пики кристаллического АФС ГМЛ-3, но стоит отметить, что остаточную кристалличность внутри системы можно выявить только с помощью ДСК. Однако на РФА виден необычный эффект взаимодействия АФС ГМЛ-3 и полимера. При соотношении 1:5 в АТД угол наклона и 2-й пик остались характерными для Soluplus<sup>®</sup>, 1-й пик потерял интенсивность на  $15 \times 10^3$  усл. ед., а разница между интенсивностью аморфных гало выросла в 2,5 раза, что свидетельствует о взаимодействии АФС и полимера, в результате чего, возможно, изменилась конформация глобулы полимера (рис. 3, А, табл. 1).

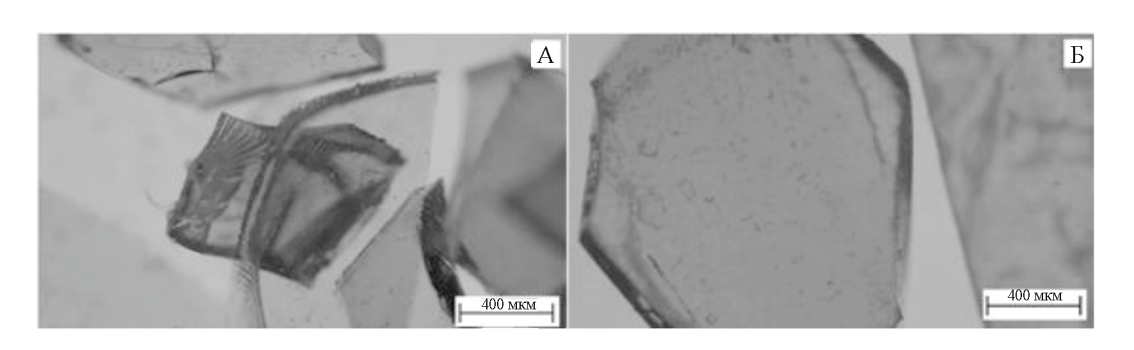


Рис. 2. Микрофотографии АТД ГМЛ-3 (c Soluplus®) в соотношениях 1:5 (A) и 1:10 (Б)

a 1

	Таблица
Интенсивность на РФА и угол наклона на энтолерме ЛСК для АТЛ ГМ.Л-3	

Полимер : ГМЛ-3	α (РФА), град.	а	ь	C = b - a	(C/C <sub>0</sub> )×100%	α (ДСК), град.	β, град.
Soluplus®	18	83	99	16	100	47	56
1:5	18	68	99	41	256	46	60
1:10	20	76	99	23	144	45	74
1:15	8	39/49	99	47	294	38	90
1:20	11	51/60	99	49/39	306/244	38	90

Перемена этих параметров полимера происходит и при других концентрациях, наиболее значимая из которых при соотношении 1:15. В этом случае пик 1 практически исчезает,  $\alpha=8$  град., а интенсивность ниже, чем у второго пика в 2,5–3 раза (рис. 3, Б–Е). По той же причине наблюдалось небольшое смещение гало от 20 к 22 град. при соотношении 1:15, 1:20 и постепенное появление нового аморфного гало при 40–45 град. (рис. 3, Д). Схожее поведение для циннаризина описано в [10, 11]. Приведенные особенности свидетельствуют о солюбилизирующих свойствах Soluplus®.

Термограмма, полученная в ходе исследования методом ДСК для полимера, подтверждает литературные данные, свидетельствующие о том, что входящий в состав ПЭГ 6000 при нагревании проявляет свойства полукристаллического вещества, что может стать причиной ошибочной интерпретации результатов при изучении АТД [12, 13].

В целях проведения более детального анализа вычислены углы на термограмме в точке перегиба между нормалью и направлением потока (рис. 4). Полимер при нагревании на начальном этапе

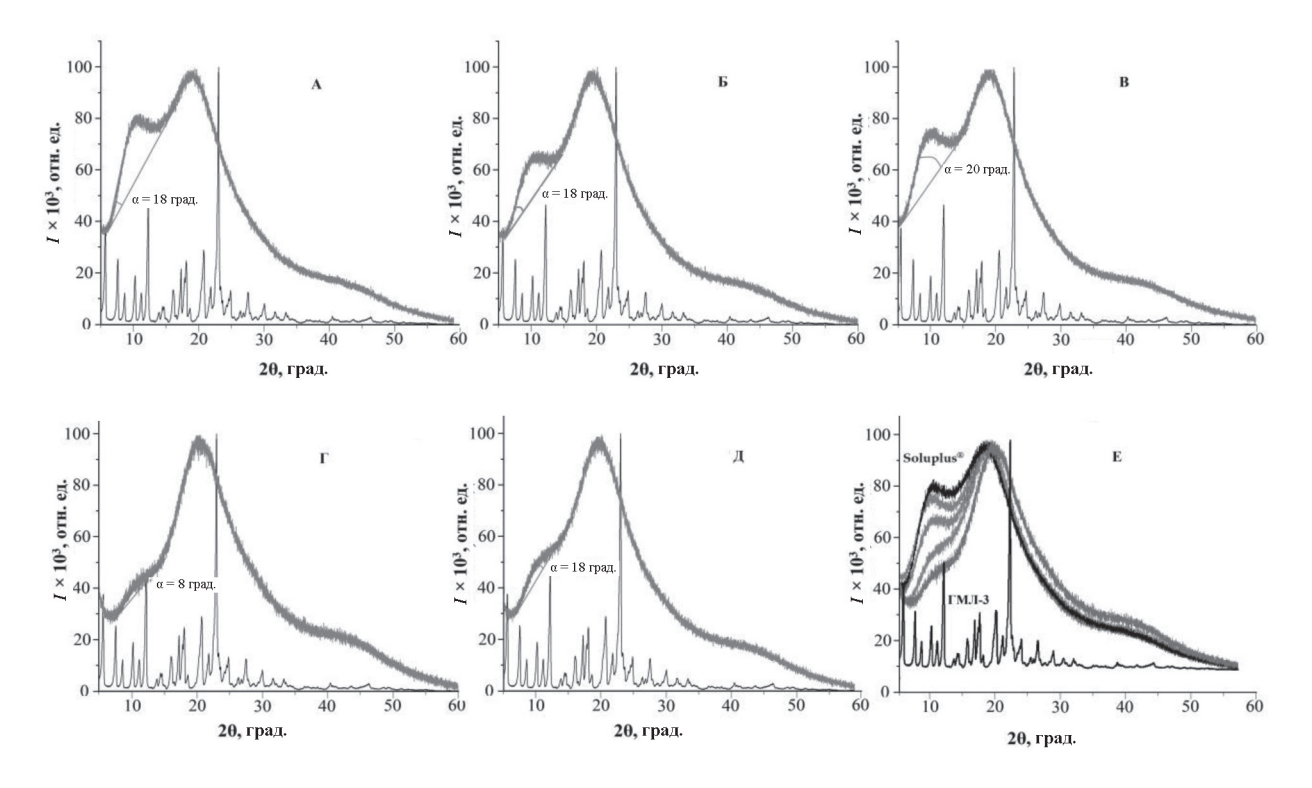


Рис. 3. РФА ГМЛ-3 в сравнении с АТД ГМЛ-3 с Soluplus<sup>®</sup> (A) в соотношениях 1:5 (Б), 1:10 (В), 1:15 (Г), 1:20 (Д), и общая рентгенограмма всех составов (Е)

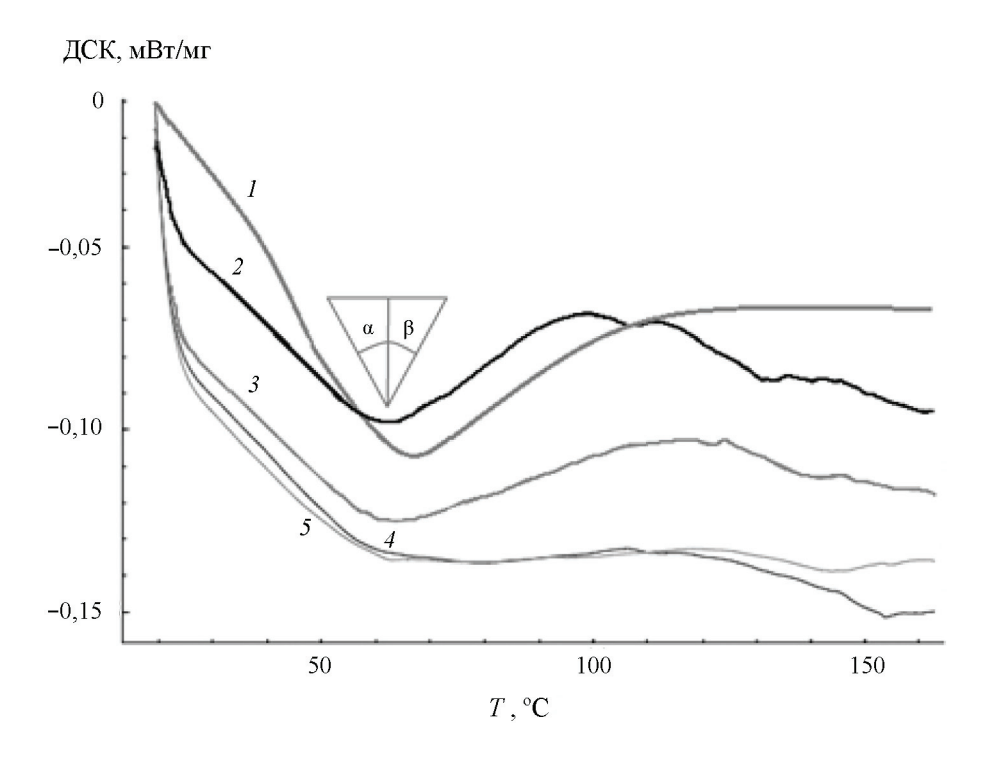


Рис. 4. Термограммы АТД ГМЛ-3 и Soluplus<sup>®</sup> при соотношении:  $I - \text{Soluplus}^{\$}, 2 - (1:5), 3 - (1:10), 4 - (1:15), 5 - (1:20)$ 

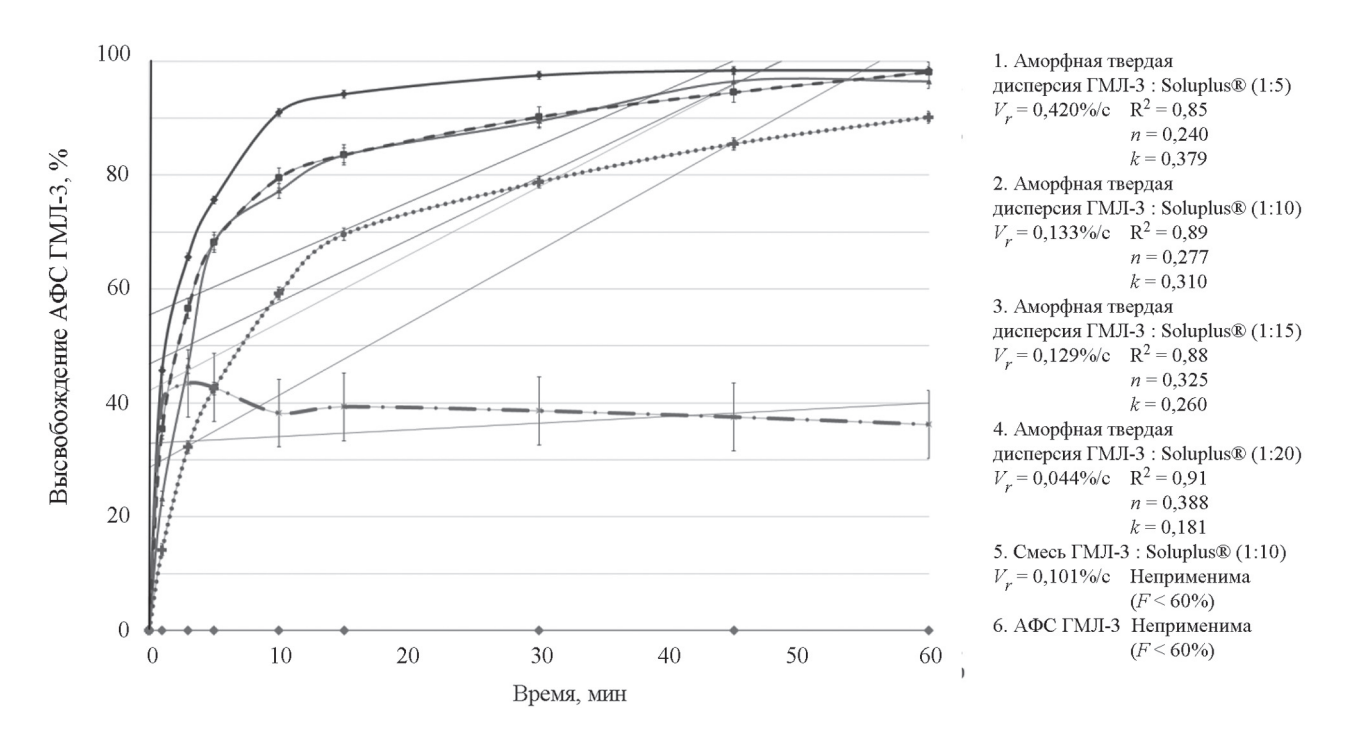


Рис. 5. Кинетика высвобождения АФС ГМЛ-3 из АТД с Soluplus® с использованием модели Корсмейера – Пеппаса

проявляет свойства стекловидного вещества со следами остаточной кристалличности ( $\alpha = 47$  град., начало плавления 37,64 °C, пик 42,21 °C,

окончание плавления 46,98 °C с выделением -0.04 мДж/г энергии), а также проявляется вторичное возрастание  $\beta = 56$  град., связанное со

Таблица 2 Высвобождение АФС ГМЛ-3 из АТД с Soluplus® с использованием модели Корсмейера – Пеппаса

Состав		Время, мин							Математическая
Состав	1	3	5	10	15	30	45	60	модель
АФС ГМЛ-3	0,05	0,06	0,05	0,05	0,05	0,05	0,05	0,05	(F < 60%)
RSD	0,01	0,01	0,01	0,01	0,01	0,01	0,01	0,01	0,01
АТД ГМЛ-3 (1:5)	45,66	65,66	75,66	91,02	94,25	97,55	98,40	98,40	$R^2 = 0.85;$ n = 0.240; k = 0.379;
RSD	1,8	0,7	0,7	0,6	0,4	0,5	0,5	0,4	0,70
АТД ГМЛ-3 (1:10)	35,42	56,55	68,22	79,55	83,55	90,21	94,54	98,10	$R^2 = 0.89;$ n = 0.277; k = 0.310;
RSD	2,1	2,4	2,1	1,9	1,7	1,2	1,1	0,4	1,61
АТД ГМЛ-3 (1:15)	23,20	46,50	68,20	77,20	83,50	89,50	96,5	96,5	$R^2 = 0.88;$ n = 0.325; k = 0.260;
RSD	3,4	2,3	2,1	1,3	0,9	0,9	0,9	0,9	1,59
АТД ГМЛ-3 (1:20)	14,22	32,20	42,50	59,20	69,60	78,80	85,50	90,2	$R^2 = 0.91;$ n = 0.388; k = 0.181;
RSD	4,2	3,7	3,2	3,4	3,5	2,8	2,1	1,7	3,08
Смесь ГМЛ-3 с (Soluplus <sup>®</sup> (1:10)	40,20	43,4	42,7	38,2	39,3	38,6	37,5	36,2	Неприменима (F < 60%)
RSD	5,7	5,4	5,2	5,0	5,7	5,9	6,1	6,2	5,65

свойствами ПЭГ 6000. При анализе АТД (1:5) углы а, в существенно не изменились по сравнению с Soluplus<sup>®</sup>, пик плавления ГМЛ-3 отсутствует, на основании чего сделан вывод о полной аморфизации АФС внутри АТД. При соотношении 1:10 зафиксировано снижение свойственного ПЭГ полукристаллического пика на термограмме после прохождения пика стеклования ( $\beta = 74$  град.), что подтверждает наличие взаимодействия АФС и полимера. На начальном этапе нагревания свойственное ПЭГ полукристаллическое поведение сохранилось (α = 47 град, начало плавления 38,84 °C, пик 42,92 °C, окончание 45,57 °C с выделением -0.04 мДж/г энергии). При соотношениях 1:15 и 1:20 первый перепад энергии на термограмме становится более гладким, т.е. АТД полностью аморфна без остаточной кристалличности (в том числе создаваемой на ДСК ПЭГ). Влияние полученных АТД ГМЛ-3 с Soluplus® на кинетику высвобождения ГМЛ-3 в среду воды очищенной изучалось в сравнении с

АФС ГМЛ-3 и механической смесью АФС и полимера (рис. 5, табл. 2). Полимер Soluplus<sup>®</sup> во всех случаях проявлял солюбилизирующие свойства. Микронизированный с Soluplus® ГМЛ-3 высвобождал 43,4±5,4% АФС ГМЛ-3 за 3 мин, но с достаточно высокой погрешностью. Высвобождение из АТД (1:5) за 10 мин составило 91,02±0,6% с постепенным увеличением до 98,40±0,5% к 45-й минуте. Образцы АТД ГМЛ-3 при соотношении 1:10 и 1:15 показали примерно равные результаты (77-79,5±1,6% за 10 мин), что уступает образцам АТД ГМЛ-3 при соотношении 1:5. При 1:20 наблюдается снижение кинетики растворения до 59,2±3,4% к 10-й минуте. Для всех АТД диффузия, согласно математической модели Корсмейера – Пеппаса, проходила по закону Фика (Case-Itransport), т.е. растворение полимера происходило одновременно с ГМЛ-3.

В результате комплексного исследования АТД ГМЛ-3 с Soluplus доказан переход ГМЛ-3 из кристаллического состояния в аморфное и

показано наличие слабого взаимодействия АФС и полимера. При соотношении ГМЛ-3 и Soluplus  $^{\text{®}}$ , равном 1:5, в водной среде АФС переходит в растворенное состояние (высвобождение ГМЛ-3 из

АТД составило 98,4±0,5%), что решает проблему растворимости ГМЛ-3 и позволяет в перспективе использовать АТД для создания ЛП с антидепрессивным и анксиолитическим действием.

#### СПИСОК ЛИТЕРАТУРЫ

- 1. Соловьев И.К. // РМЖ. 2023. № 5. С. 385.
- 2. Меркин А.Г., Акинфиева С.С., Мартюшев-Поклад А.В. и др. // Неврология, нейропсихиатрия, психосоматика. 2021. № 13 (1). С. 107 (https://doi.org/10.14412/2074-2711-2021-1-107-1126).
- 3. Российский статистический ежегодник. 2022: Стат. сб. / Росстат. Р76 М., 2022. С. 690.
- 4. Незнанов Н.Г., Мартынихин И.А., Мосолов С.Н. // Современная терапия психических расстройств. 2017. № 2. С. 2.
- Всемирная организация здравоохранения: сайт. 2023 (URL: https://www.who.int/ru/news-room/fact-sheets/ detail/depression) (дата обращения: 15.04.2022).
- Liu X., Zhao L., Wu B., Chen F. // Int. J. Pharm. 2023. Vol. 634. P. 122704 (https://doi.org/10.1016/j. ijpharm.2023.122704).
- Salunke S., O'Brien F., Tan D., Harris D., Math M., Arien T., Klein S., Timpe C. // Adv. Drug Deliv. Rev. 2022. Vol. 190. P. 114507 (https://doi.org/10.1016/j. addr.2022.114507).
- Markeev V.B., Tishkov S.V., Vorobei A.M., Parenago O.O., Blynskaya E.V., Alekseev K.V., Marakhova A.I., Vetcher A.A. // Polymers. 2023. Vol. 20 (15). P. 4136 (https://doi.org/10.3390/ polym15204136).
- 9. Kapourani A., Eleftheriadou K., Kontogiannopoulos K.N., Barmpalexis P. // Eur. J. Pharm. Sci. 2021. Vol. 157. P. 105642 (https://doi.org/10.1016/j.ejps.2020.105642).
- 10. Jorgensen J.R., Mohr W., Rischer M., Sauer A.,

- Mistry S., Mullertz A., Rades T. // Int. J. Pharm. 2023. Vol. 632. P. 122564 (https://doi.org/10.1016/j.ijpharm.2022.122564).
- 11. Lapuk S.E., Zubaidullina L.S., Ziganshin M.A., Mukhametzyanov T.A., Schick C., Gerasimov A.V. // Int. J. Pharm. 2019. Vol. 562. P. 113–123 (https://doi.org/10.1016/j.ijpharm.2019.03.039).
- 12. Елагина А.О., Беляцкая А.В., Кашликова И.М. и др. // Вестн. Моск. ун-та. Сер. 2. Химия. 2019. № 2. С. 52.
- 13. Ковальский И.В., Краснюк (мл.) И.И., Краснюк И.И и др. // Химико-фармацевтический журнал. 2013. № 11 (47). С. 42 (https://doi.org/10.30906/0023-1134-2013-47-11-42-45).
- 14. Беляцкая А.В., Краснюк (мл.) И.И., Краснюк И.И. и др. // Химико-фармацевтический журнал. 2018. № 12 (52). С. 39.
- Tian B., Ju X., Yang D., Kong Y., Tang X. // Int. J. Pharm.
  Vol. 580. P. 119240 (https://doi.org/10.1016/j.ijpharm.2020.119240).
- Al-Zoubi N., Odah F., Obeidat W., Al-Jaberi A., Partheniadis I., Nikolakakis I. // Int. J. Pharm. 2018.
   Vol. 107. P. 2385-2398 (https://doi.org/10.1016/j. xphs.2018.04.028).
- Tian B., Ju X., Yang D., Kong Y., Tang X. // Mater. Sci. Eng. C. 2019. Vol. 99. P. 563 (https://doi.org/10.1016/j. msec.2019.01.126).
- Nagy Z.K., Balogh A., Vajna B., Farkas A., Patyi G., Kramarics A., Marosi G. // J. Pharm. Sci. 2012. Vol. 101. N 1. P. 32–332 (https://doi.org/10.1002/jps.22731).

#### Информация об авторах

Владимир Борисович Маркеев — мл. науч. сотр. лаборатории технологии лекарственных препаратов  $\Phi\Gamma EHV$  « $\Phi HU$  оригинальных и перспективных биомедицинских и фармацевтических технологий» (markeev\_vb@academpharm.ru) (ORCID ID: https://orcid.org/0000-0003-2930-9397, eLIBRARY AuthorID: 1123769);

Владимир Павлович Виноградов – мл. науч. сотр. лаборатории технологии лекарственных препаратов ФГБНУ «ФИЦ оригинальных и перспективных биомедицинских и фармацевтических технологий» (vinogradov\_vp@academpharm. ru), аспирант ФГАОУ ВО «Российский университет дружбы народов имени Патриса Лумумбы» (ORCID ID: https://orcid.org/0000-0001-8726-6407, eLIBRARY AuthorID: 1127705);

Сергей Валерьевич Тишков – вед. науч. сотр. лаборатории технологии лекарственных препаратов ФГБНУ «ФИЦ оригинальных и перспективных биомедицинских и фармацевтических технологий», канд. фарм. наук (tishkov\_sv@academpharm.ru) (ORCID ID: https://orcid.org/0000-0002-8321-6952, eLIBRARY AuthorID: 899148);

Евгения Викторовна Блынская – зав. лабораторией технологии лекарственных препаратов ФГБНУ «ФИЦ оригинальных и перспективных биомедицинских и

фармацевтических технологий», докт. фарм. наук (blynskaya\_ev@academpharm.ru) (ORCID ID: https://orcid.org/0000-0002-9494-1332, eLIBRARY AuthorID: 668905);

Константин Викторович Алексеев — глав. науч. сотр. лаборатории технологии лекарственных препаратов  $\Phi\Gamma$ БНУ «ФИЦ оригинальных и перспективных биомедицинских и фармацевтических технологий», докт. фарм. наук, профессор (alekseev\_kv@academpharm.ru) (ORCID ID: https://orcid.org/0000-0003-3506-9051, eLIBRARY AuthorID: 625715);

Владимир Львович Дорофеев – исполняющий обязанности генерального директора ФГБНУ «ФИЦ оригинальных и перспективных биомедицинских и фармацевтических технологий» докт. фарм. наук, профессор (dorofeev\_vl@academpharm.ru) (ORCID ID: https://orcid.org/0009-0004-3584-3742, eLIBRARY AuthorID: 529740).

# Вклад авторов

Все авторы сделали эквивалентный вклад в подготовку публикации.

# Конфликт интересов

Авторы заявляют об отсутствии конфликта интересов.

#### Соблюдение этических стандартов

В данной работе отсутствуют исследования человека и животных.

Статья поступила в редакцию 04.10.2023; одобрена после рецензирования 11.03.2024; принята к публикации 25.12.2024.